Unit 15, part 78.2.1

Aphorisms, advices, anecdotes, brain teasers, curious stories, epigrams, epigraphs, epitaphs, crazy-creative ideas, suggestions and set pieces for thriller and mystery writers, koans, memorabilia, mottos, poems, proverbs, riddles, quotations, sayings, slogans, scurrilities, seeds, besun, etc.

collected for encouragement and the advantage of my students and of myself.

xxxxxxxxxxxxxxxxxxxxxxxxxxxxxxxxxxxxxxxxxxxxxxxxxxxxxxxxxxxxxxxxxxxxxxxxxxxxxxxxxxxxxxxxxxxxxxxx

Nachtrag zu **Unit 15, part 78.1, Müli**

$\pi \approx \frac{355}{113} = 3+\frac{1}{7+\frac{1}{16}} \rightarrow \frac{4-\pi}{\pi-3} \approx 6 + \frac{1}{16}$ (1) → (2)

** Vergleichen Sie die Genauigkeiten von
von Gl. (1) und Gl. (2).

** Geben Sie eine geometrische Interpretation
von Gl. (1) und Gl. (2) an.

** Berechnen Sie den Dezimalwert p des scf
[3;7,15,31,63,127,255,511,1023,…] (3)

** Analysieren Sie die Häufigkeitsverteilungen
der Kettenbruchelemente in scf(π-p) und
in scf(π/p).

Numerische Werte

** $\left[\frac{355}{113};10\right] =$ **3.141592**920

$\left[3+\frac{1}{7+\frac{1}{16}};10\right] = 3.141592920$

$\left[\frac{4-\pi}{\pi-3};10\right] =$ 6.062513306

$\left[6+\frac{1}{16};10\right] =$ 6.062500000

** ???

** p(1000 scf-Elemente) = 3.1415122973528192579249932133807845703522156357316046737423953402311843164637666238645019725645589958994829541614320745954275815554383765184296081034190725697041825322600889349116830793193732068414401…

** scf(π-p) Häufigkeitsverteilung in der Menge der einstelligen scf-Elemente:

1 47.841%
2 19.737%
3 10.937%
4 6.969%
5 4.667%
6 3.485%
7 2.663%
8 2.070%
9 1.631%

Der Anteil der einstelligen an der Gesamtzahl der scf-Elemente beträgt dabei 86.188%.

- scf(π/p) Häufigkeitsverteilung in der Menge der einstelligen scf-Elemente:

1 48.320%

2 19.587%
3 10.811%
4 6.800%
5 4.758%
6 3.339%
7 2.578%
8 2.144%
9 1.663%
Der Anteil der einstelligen an der Gesamtzahl der scf-Elemente beträgt dabei 86.294%.

xxxxxxxxxxxxxxxxxxxxxxxxxxxxxxxxxxxxxxxxxxxxxxxxxxxxxxxxxxxxxxxxxxxxxxxxxxxxxxxxxxxxxxxxxxxxxxxxxxxxxxxxxxx□

Hoffnungsvolles ???

** **https**://www.spiegel.de/wissenschaft/medizin/krebszellen-in-den-selbstmord-getrieben-maus-studie-a-1276840.html

https://www.nature.com/articles/s41556-019-0347-9.epdf?referrer_access_token=hG7oV-LMPRkgXuhn6kipjNRgN0jAjWel9jnR3ZoTv0PMMm6QBvb4oCgn9gH969BLPdAJ4_Pw-o6xi2Rwy1cRyalGH8HqSATX6ivVey82sF3s65sY1N0g3fCYDojZ_9f2HbVZQxx8_t1LEmlZPvJN0yhjD81pEoLLE3LfDge2Gvz4aUbQS4aKfrpuxEGKVfVyfAjcdV10PdcA02XI2vBF4KGzPfpfnmAQ0Bw2Irwvr74hZr7O-RjGckTPy3f0k1cPZJHk8_NUMHfwIErUbiQZSxLBEgtGtovxnrtSVClSQB10iW_jAUiOYbvGejGEqd87&tracking_referrer=www.spiegel.de

** **https**://www.zeit.de/wissen/gesundheit/2019-07/verjuengung-biologie-trim-studie-gregory-fahy?utm_source=pocket-newtab

https://www.zeit.de/kultur/2019-07/verjuengung-silicon-valley-forscher-life-extension-tod-unsterblichkeit?utm_source=pocket-newtab

Emotionstechnologie

https://de.wikipedia.org/wiki/Emotion
https://en.wikipedia.org/wiki/Emotion

So kommt der Glaube aus der Predigt, das Predigen aber aus dem Wort Gottes.
Roemer 10:17 Lutherbibel 1912

…auch die Theorie wird zur materiellen Gewalt, sobald sie die Massen ergreift.
Karl Marx

…Dozent am „College of Emotional Engineering“ („Hochschule für Emotionstechnik“) – „Department of Writing“ („Abteilung für Schriftstellerei“)…
https://de.wikipedia.org/wiki/Schöne_neue_Welt#Bildung

A. Huxley. Schöne neue Welt.
Fischer 2014, ISBN 978-3596905737

https://www.sueddeutsche.de/digital/china-kredit-sesame-sozialkredit-ueberwachung-1.4442172

https://www.spiegel.de/karriere/karriere-kolumne-von-greta-thunberg-lernen-svenja-schulze-meiden-a-1276393.html

https://www.nzz.ch/meinung/die-volksparteien-stehen-am-ende-was-folgt-danach-ld.1488393?utm_source=pocket-newtab
https://www.spektrum.de/news/emotionen-perfektionieren-kuenstliche-intelligenz/1566366
Z. Baumann. Retropia.
Suhrkamp Verlag 2017,
ISBN-13: 978-3518073315
https://www.zeit.de/kultur/2019-07/buddhismus-nationalsozialismus-gelassenheit-widerstand-opferbereitschaft?utm_source=pocket-newtab
https://www.heise.de/tp/features/Transhumanismus-Von-der-Technikverehrung-zur-Mythologie-4467072.html?utm_source=pocket-newtab

xxxxxxxxxxxxxxxxxxxxxxxxxxxxxxxxxxxxxxxxxxxxxxxxxxxxxxxxxxxxxxxxxxxxxxx
Selbst eine simple, aber geschickt partitionerte, Fortsetzungsgeschichte im Internet kann süchtig machen, immer wieder auf „weiter“ zu klicken.
https://www.dailybreak.co/de/39159?utm_source=tb&utm_campaign=2407960&utm_medium=referral&utm_term=axelspringer-dieweltprojectberlin
https://www.dailybreak.co/de/39159/2 https://www.dailybreak.co/de/39159/3 …
Kommentar:
** Ein Analyst könnte daraus zumindest partielle Persönlichkeitsprofile der Besucher erstellen.
** Mittels dieser Chopper-Technologie könnten „Hintergrundbotschaften“ ,

welcher Art auch immer und wie auch immer (z.B. KI-gestützt),
nachhaltig, emotionalisiert, …
transportiert werden.

Aufgaben:

** Versuchen Sie selbst, eine solche „überzeugende“ Ch-Story zu schreiben.
** In Unit 15, part 44 und in Deb 131 finden Sie zwei Versionen der „Ameise Salome“-Geschichte. Versuchen Sie, daraus eine überzeugende Ch-Story zu schreiben.
** Versuchen Sie, eine „Kompakte Einführung in die Differentialrechnung“ in eine Überzeugende Chopper-Story zu transformieren.
** Ad libitum.
** Ersetzen Sie „Frau sieht weinenden Mann, der …“ in der Originalumgebung https://www.dailybreak.co/de/39159?utm_source=tb&utm_campaign=2407960&utm_medium=referral&utm_term=axelspringer-dieweltprojectberlin virtuell durch vorgenannte Ch-Stories und testen Sie die Wirkung.
** Könstruieren und testen Sie dazu eigene, möglichst optimal flankierende Umgebungen.

xxxxxxxxxxxxxxxxxxxxxxxxxxxxxxxxxxxxxxxxxxxxxxxxxxxxxxxxxxxxxxxxxxxxxxx

Da man eine Frage erst durch deren Negation begreifen könne, …

https://sz-magazin.sueddeutsche.de/gesundheit/einschlafen-tipps-87478

xxxxxxxxxxxxxxxxxxxxxxxxxxxxxxxxxxxxxxxxxxxxxxxxxxxxxxxxxxxxxxxxxxxxxxx

Sprunginnovation, disruptive Innovation

https://www.bmbf.de/files/Eckpunkte%20der%20Agentur%20zur%20F%C3%B6rderung%20von%20Sprunginnovationen_final.pdf

https://www.welt.de/wirtschaft/article181356576/Eine-Milliarde-Euro-fuer-Ideen-Bund-gruendet-Innovations-Agentur.html

xxxxxxxxxxxxxxxxxxxxxxxxxxxxxxxxxxxxxxxxxxxxxxxxxxxxxxxxxxxxxxxxxxxxxxx

„Sanior Pars“ habe sich die Aufgabe gestellt, das mathematische sowie natur- und geisteswissenschaftliche Wissen der Menschheit ständig aktualisiert kompakt so zu speichern, dass es auch nach einer globalen (intrinsischen oder kosmischen) Katastrophe für einen Neustart einer irdischen oder für eine außerirdische Zivilisation verfügbar ist.

Wie?

xxxxxxxxxxxxxxxxxxxxxxxxxxxxxxxxxxxxxxxxxxxxxxxxxxxxxxxxxxxxxxxxxxxxxxx

Bidirektionale Kommunikation mit Insekten??

xxxxxxxxxxxxxxxxxxxxxxxxxxxxxxxxxxxxxxxxxxxxxxxxxxxxxxxxxxxxxxxxxxxxxx

https://t3n.de/news/meetings-amazon-**zwei-pizza-regel-jeff-bezos-**1182774/?utm_source=pocket-newtab

xxxxxxxxxxxxxxxxxxxxxxxxxxxxxxxxxxxxxxxxxxxxxxxxxxxxxxxxxxxxxxxxxxxxxx

Wie könnte man π mod e interpretieren?

xxxxxxxxxxxxxxxxxxxxxxxxxxxxxxxxxxxxxxxxxxxxxxxxxxxxxxxxxxxxxxxxxxxxxx

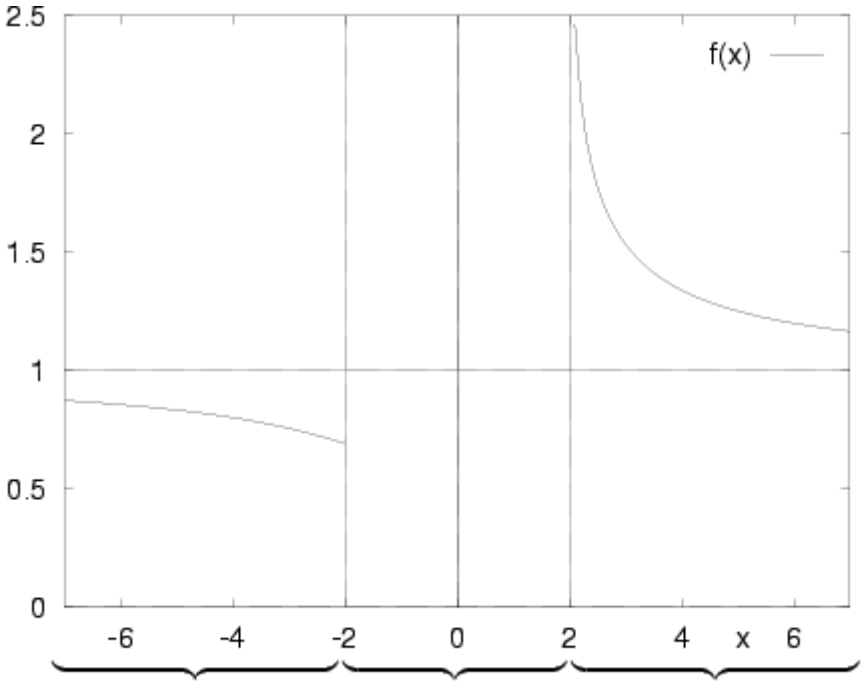
Durch eine minimale Erweiterung soll der **Babylonische $\sqrt{2}$ –Algorithmus** (Unit 1) so verändert werden, dass sich nach jedem vollen Wertedurchlauf die Konvergenz verschlechtert (= die Anzahl der Takte bis zum Erreichen von ε um einen konstanten Betrag erhöht)?

xxxxxxxxxxxxxxxxxxxxxxxxxxxxxxxxxxxxxxxxxxxxxxxxxxxxxxxxxxxxxxxxxxxxxx

Noch einmal:
Andocken an den **Kugelkondensator** (Unit 12)
Der nachstehende Algorithmus A1

Eingabe: x, ε
$\begin{pmatrix} u \\ v \end{pmatrix} := \begin{pmatrix} 1 \\ x \end{pmatrix}$; $s := 1$
$s := s + \frac{1}{v}$
$\begin{pmatrix} u \\ v \end{pmatrix} := \begin{pmatrix} 0 & 1 \\ -1 & x \end{pmatrix} \begin{pmatrix} u \\ v \end{pmatrix}$
$\frac{1}{\lvert v \rvert} \leq \varepsilon$
$f(x) :\approx s$
Ausgabe: $f(x)$

konvergiert für
x ≦ -2 und für x >2 und generiert dort
eine monoton fallende reelle Funktion f(x)



** Untersuchen Sie das Konvergenz/ Divergenz-Verhalten (u(t),v(t),s(t)) von A1 für x=3 bzw. x=1 und ad libitum (Wertetabellen und Graphen).

** Erweitern Sie A1 → A2:
# Zeile1 → Eingabe: x,a,b,ε
# Zeile4 → $\begin{pmatrix} u \\ v \end{pmatrix} := \begin{pmatrix} 0 & 1 \\ 1 & x \end{pmatrix} \begin{pmatrix} u \\ v \end{pmatrix} + \begin{pmatrix} a \\ b \end{pmatrix}$

** Untersuchen Sie vergleichend das Konvergenz/Divergenz-Verhalten (u(t),v(t),s(t)) von A2 für konstante

Eingaben (x,a,b) (Wertetabellen und Graphen).

** Erweitern Sie A1 → A3:
# Zeile1 → Eingabe: x,a,b,ε
# Zeile4 → $\binom{u}{v} := \begin{pmatrix} 0 & 1 \\ 1 & s \end{pmatrix}\binom{u}{v}+\binom{a}{b}$

** Untersuchen Sie vergleichend das Konvergenz/Divergenz-Verhalten (u(t),v(t),s(t)) von A3 für konstante Eingabe x und variable Eingaben (a,b), insbesondere „Injektionen“ (Wertetabellen und Graphen).

** Wie reagieren A1, A2 und A3 auf die Eingabe spezieller Werte (z.B. Resonanz)?

** Wie reagieren A1, A2 und A3 auf eine Eingabe $x \in \mathbb{C}$?

** Untersuchen Sie weitere A1 „Kadenzen“ ad libitum.

** A1, A2 und A3 → 2D-Mustergeneratoren?
→ Analoga zu welchen physikalischen Systemen und Prozessen?

** Links zu Unit 1 (S. 7, 8), Unit 12, Unit 15, Unit 16, Unit 30.1, Unit 31 und Unit 193.

** Applikationen?
** Design of metamaterials, esp. „gravitational metamaterials“.

https://en.wikipedia.org/wiki/Metamaterial
** Design of sensor arrays.
** Design of fractal antennas
https://en.wikipedia.org/wiki/Fractal_antenna

Details

Das „schwarze Loch“ 0<abs(x)<2 von A1

Erster „Tauchgang“ x=1.1

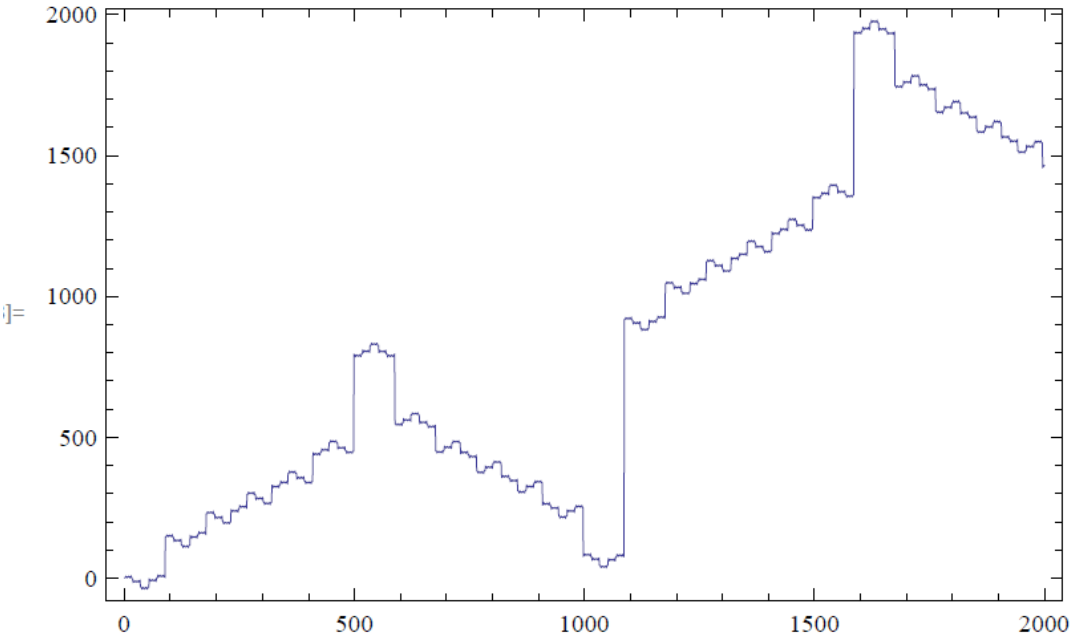
init s=1 u=1 v=1.1
t=1 s=1.909090909 u=1.100000000 v=0.2100000000
t=2 s=6.670995671 u=0.2100000000 v=-0.8690000000
t=3 s=5.520247685 u=-0.8690000000 v=-1.165900000
t=4 s=4.662541192 u=-1.165900000 v=-0.4134900000
t=5 s=2.244103019 u=-0.4134900000 v=-.7110610000
t=6 s=3.650452123 u=0.7110610000 v=1.195657100
t=7 s=4.486812314 u=1.195657100 v=0.6041618100
t=8 s=6.141998033 u=0.6041618100 v=-0.5310791090
t=9 s=4.259039387 u=-0.5310791090 v=-1.188348830
t=10 s=3.417535634 u=-1.188348830 v=-0.7761046039
t=11 s=2.129049527 u=-0.7761046039 v=0.3346337656
t=12 s=5.117391119 u=0.3346337656 v=1.144201746
t=13 s=5.991362867 u=1.144201746 v=0.9239881551
t=14 s=7.073627823 u=0.9239881551 v=-0.1278147755
t=15 s=-0.7501937661 u=-0.1278147755 v=-1.064584408
t=16 s=-1.689527456 u=-1.064584408 v=-1.043228073
t=17 s=-2.648090617 u=-1.043228073 v=-0.08296647265
t=18 s=-14.70115215 u=-0.08296647265 v=0.9519649535
t=19 s=-13.65069331 u=0.9519649535 v=1.130127922
t=20 s=-12.76583773 u=1.130127922 v=0.2911757601
t=21 s=-9.331485915 u=0.2911757601 v=-0.8098345853
t=22 s=-10.56630599 u=-0.8098345853 v=-1.181993804
t=23 s=-11.41233411 u=-1.181993804 v=-0.4903585991
t=24 s=-13.45165799 u=-0.4903585991 v=0.6425993450
t=25 s=11.89547837 u=0.6425993450 v=1.197217879

t=26 s=-11.06020852 u=1.197217879 v=0.6743403215
t=27 s=-9.577277771 u=0.6743403215 v=-0.4554435250
t=28 s=-11.77293968 u=-0.4554435250 v=-1.175328199
t=29 s=-12.62376586 u=-1.175328199 v=-0.8374174939
t=30 s=-13.81791335 u=-0.8374174939 v=0.2541689557
t=31 s=-9.883522556 u=0.2541689557 v=1.117003345
t=32 s=-8.988270089 u=1.117003345 v=0.9745347239
t=33 s=-7.962139387 u=0.9745347239 v=-0.04501514883
t=34 s=-30.17688322 u=-0.04501514883 v=-1.024051388
t=35 s=-31.15339672 u=-1.024051388 v=-1.081441378
t=36 s=-32.07808854 u=-1.081441378 v=-0.1655341277
t=37 s=-38.11913889 u=-0.1655341277 v=0.8993538371
t=38 s=-37.00722948 u=0.8993538371 v=1.154823349
t=39 s=-36.14129617 u=1.154823349 v=0.3709518463
t=40 s=-33.44552848 u=0.3709518463 v=-0.7467763177
t=41 s=-34.78461755 u=-0.7467763177 v=-1.192405796
t=42 s=-35.62325822 u=1.192405796 v=-0.5648700576
t=43 s=-37.39357688 u=-0.5648700576 v=0.5710487323
t=44 s=-35.64241284 u=0.5710487323 v=1.193023663
t=45 s=-34.80420650 u=1.193023663 v=0.7412772971
t=46 s=-33.45518367 u=0.7412772971 v=-0.3776186363
t=47 s=-36.10335805 u=-0.3776186363 v=-1.156657797
t=48 s=-36.96791800 u=-1.156657797 v=-0.8947049405
t=49 s=-38.08560491 u=-0.8947049405 v=0.1724823625
t=50 s=-32.28791067 u=0.1724823625 v=1.084435539
t=51 s=-31.36577195 u=1.084435539 v=1.020396731
t=52 s=-30.38576097 u=1.020396731 v=0.03800086445
t=53 s=-4.070570130 u=0.03800086445 v=-0.9785957798
t=54 s=-5.092442512 u=-0.9785957798 v=-1.114456222
t=55 s=-5.989741105 u=-1.114456222 v=-0.2473060646
t=56 s=-10.03331360 u=-0.2473060646 v=0.8424195511
t=57 s=-8.846256626 u=0.8424195511 v=1.173967571
t=58 s=-7.994444340 u=1.173967571 v=0.4489447768
t=59 s=-5.766998891 u=0.4489447768 v=-0.6801283163

t=60 s=-7.237309678 u=-0.6801283163 v=-1.197085925
t=61 s=-8.072671601 u=-1.197085925 v=-0.6366662009
t=62 s=-9.643353378 u=-0.6366662009 v=0.4967531037
t=63 s=-7.630280903 u=0.4967531037 v=1.183094615
t=64 s=-6.785039967 u=1.183094615 v=0.8046509728
t=65 s=-5.542265107 u=0.8046509728 v=-0.2979785449
t=66 s=-8.898211423 u=-0.2979785449 v=-1.132427372
t=67 s=-9.781270261 u=-1.132427372 v=-0.9476915645
t=68 s=-10.83646589 u=-0.9476915645 v=0.08996665127
t=69 s=0.2787638711 u=0.08996665127 v=1.046654881
t=70 s=1.234188642 u=1.046654881 v=1.061353718
t=71 s=2.176381601 u=1.061353718 v=0.1208342086
t=72 s=10.45218372 u=0.1208342086 v=-0.9284360883
t=73 s=9.375103661 u=-0.9284360883 v=-1.142113906
t=74 s=8.499534250 u=-1.142113906 v=-0.3278892080
t=75 s=5.449723596 u=-0.3278892080 v=0.7814357769
t=76 s=6.729419291 u=0.7814357769 v=1.187468563
t=77 s=7.571546848 u=1.187468563 v=0.5247796420
t=78 s=9.477108574 u=0.5247796420 v=-0.6102109565
t=79 s=7.838331050 u=-0.6102109565 v=-1.196011694
t=80 s=7.002218824 u=-1.196011694 v=-0.7054019070
t=81 s=5.584587272 u=-0.7054019070 v=0.4200695964
t=82 s=7.965145182 u=0.4200695964 v=1.167478463
t=83 s=8.821692032 u=1.167478463 v=0.8641567130
t=84 s=9.978889546 u=0.8641567130 v=-0.2169060788
t=85 s=5.368599204 u=-0.2169060788 v=-1.102753400
t=86 s=4.461778150 u=-1.102753400 v=-0.9961226608
t=87 s=3.457885719 u=-0.9961226608 v=0.007018472724
t=88 s=145.9390265 u=0.007018472724 v=1.003842981
t=89 s=146.9351982 u=1.003842981 v=1.097208806
t=90 s=147.8466017 u=1.097208806 v=0.2030867060
t=91 s=152.7706070 u=0.2030867060 v=-0.8738134296
t=92 s=151.6261979 u=-0.8738134296 v=-1.164281479
t=93 s=150.7672991 u=-1.164281479 v=-0.4068961968

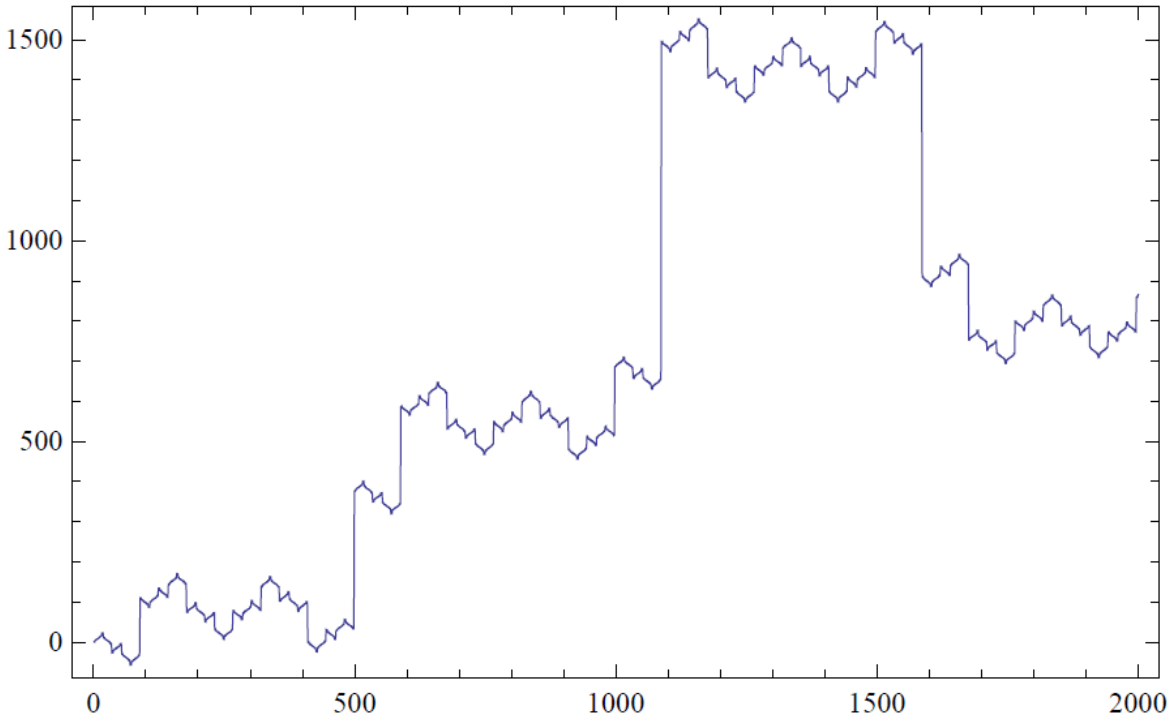
t=94 s=148.3096698 u=-0.4068961968 v=0.7166956620
t=95 s=149.7049622 u=0.7166956620 v=1.195261425
t=96 s=150.5415993 u=1.195261425 v=0.5980919055
t=97 s=152.2135831 u=0.5980919055 v=-0.5373603290
t=98 s=150.3526344 u=-0.5373603290 v=-1.189188267
t=99 s=149.5117247 u=-1.189188267 v=-0.7707467651
t=100 s=148.2142817 u=-0.7707467651 v=0.3413668257

↓

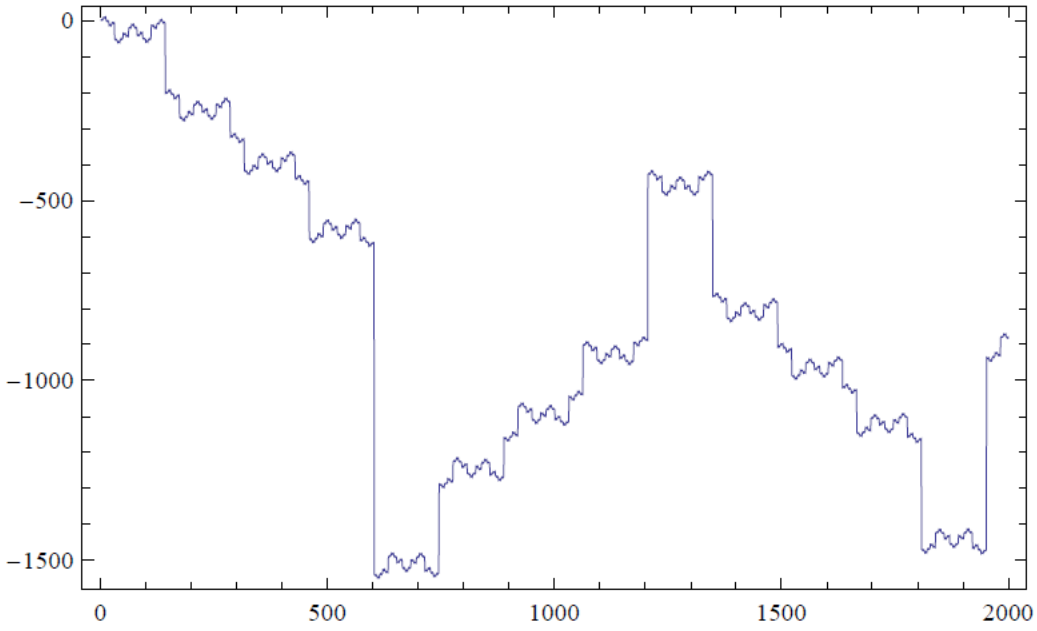


Werteverlaufsgraph von s(t), t=1(1)2000, legato für **x=1.1**

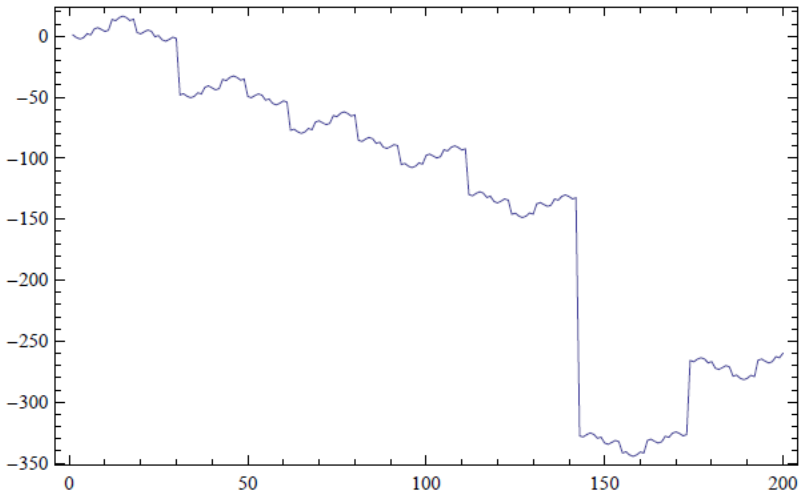
Weitere x-Werte

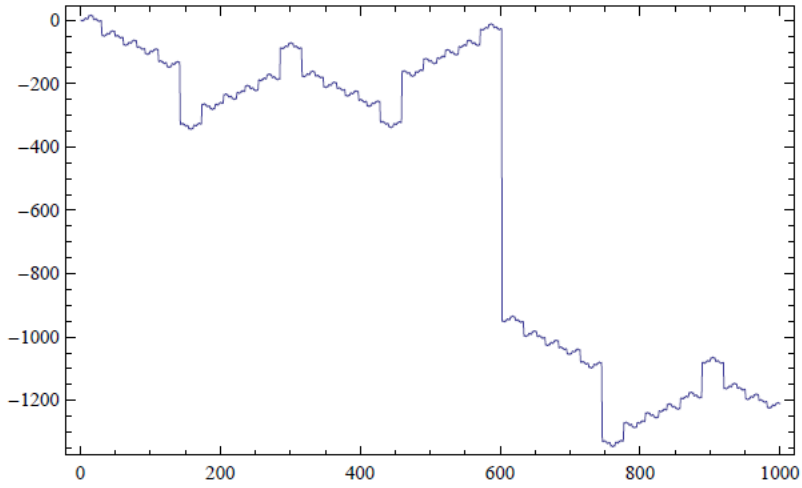


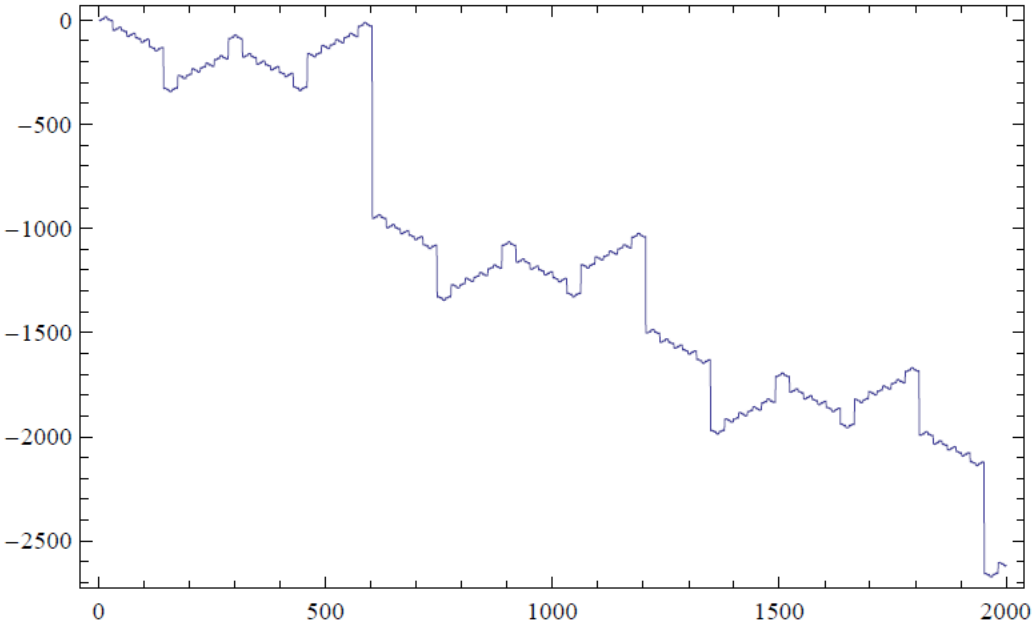
Werteverlaufsgraph von s(t), t=1(1)2000, legato
für **x=-1.1**



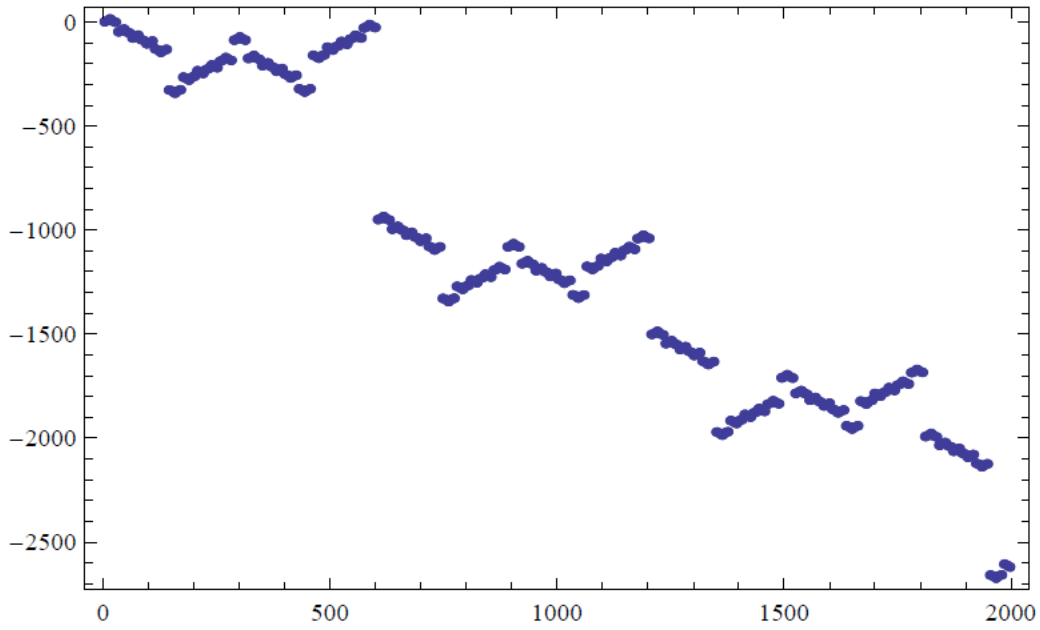
Werteverlaufsgraph von s(t), t=1(1)2000, legato,
für **x=0.5**


0
−50
−100
−150
−200
−250
−300
−350
0
50
100
150
200

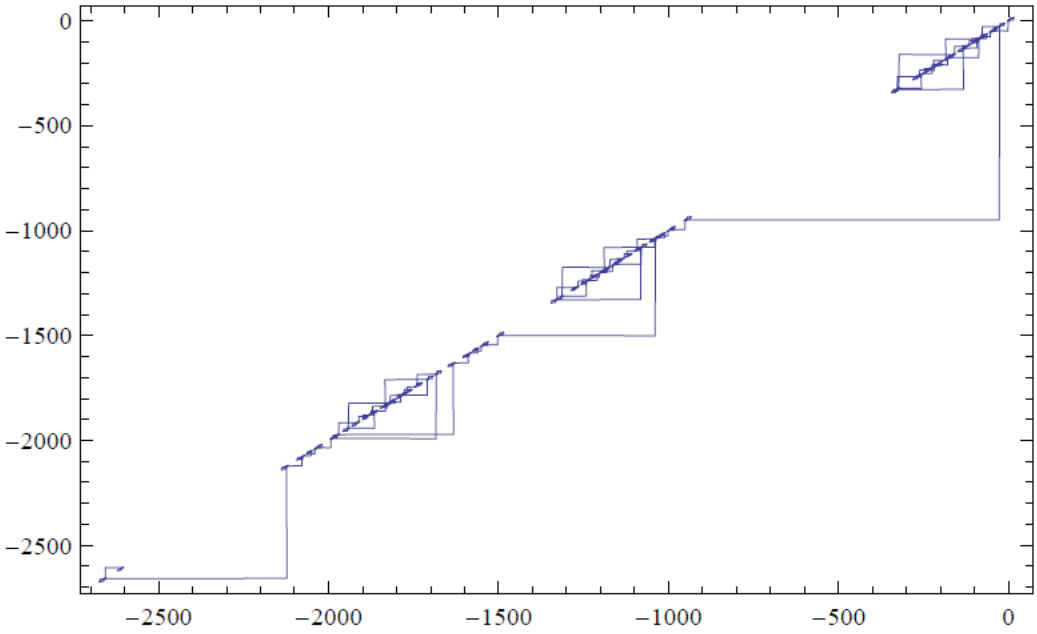

0
−200
−400
−600
−800
−1000
−1200
0
200
400
600
800
1000


0
−500
−1000
−1500
−2000
−2500
0
500
1000
1500
2000

Werteverlaufsgraphen von s(t), t=1(1)200
t=1(1)1000
t=1(1)2000,
legato, für **x=-0.5**



Werteverlaufsgraph von s(t), t=1(1)2000 , **x=-0.5**
aufeinanderfolgende Punkte nicht verbunden

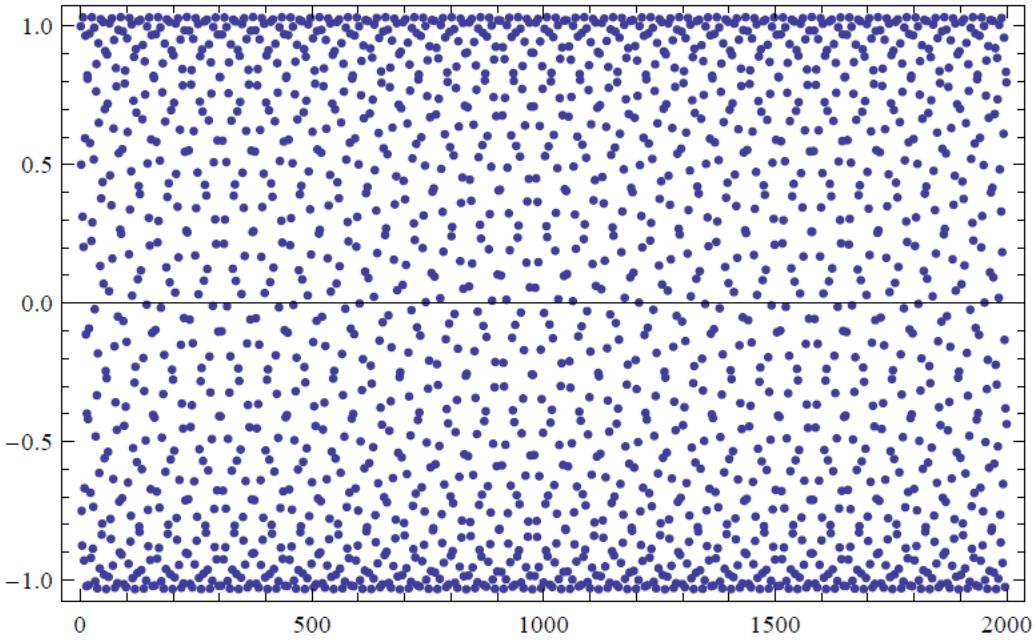


Pixelgraphik von s(t): Pixel(s(t)) = (s(t),s(t+1), legato für **x=-0.5**

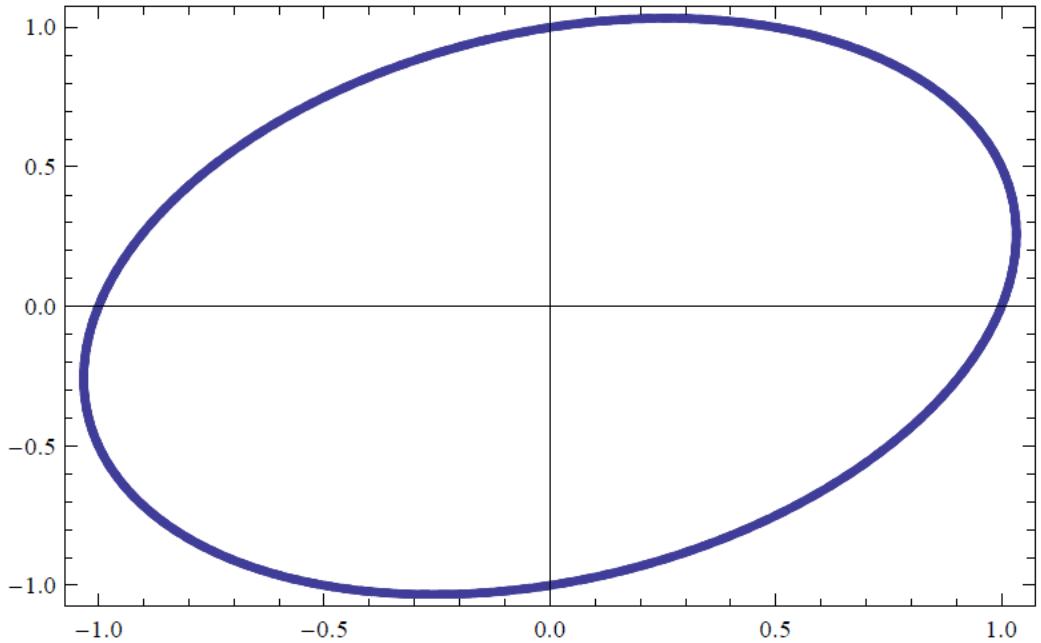
** Analysieren Sie die vorstehenden Graphen von s(t): Sprungstellen, Basismuster, Selbstähnlichkeit, Formeldarstellung, …

** Untersuchen Sie die Werteverläufe von s(t) für x=-2, x=0 und x=2 sowie für jeweils „kleine Umgebungen“.

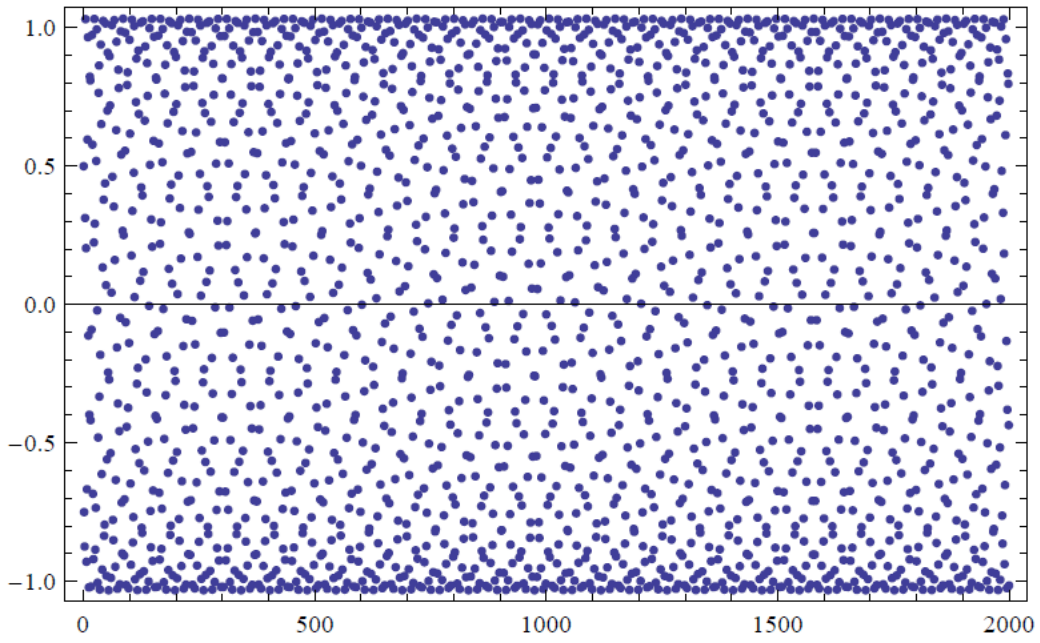
** Untersuchen Sie korrespondierende Graphen von u(t) und v(t).



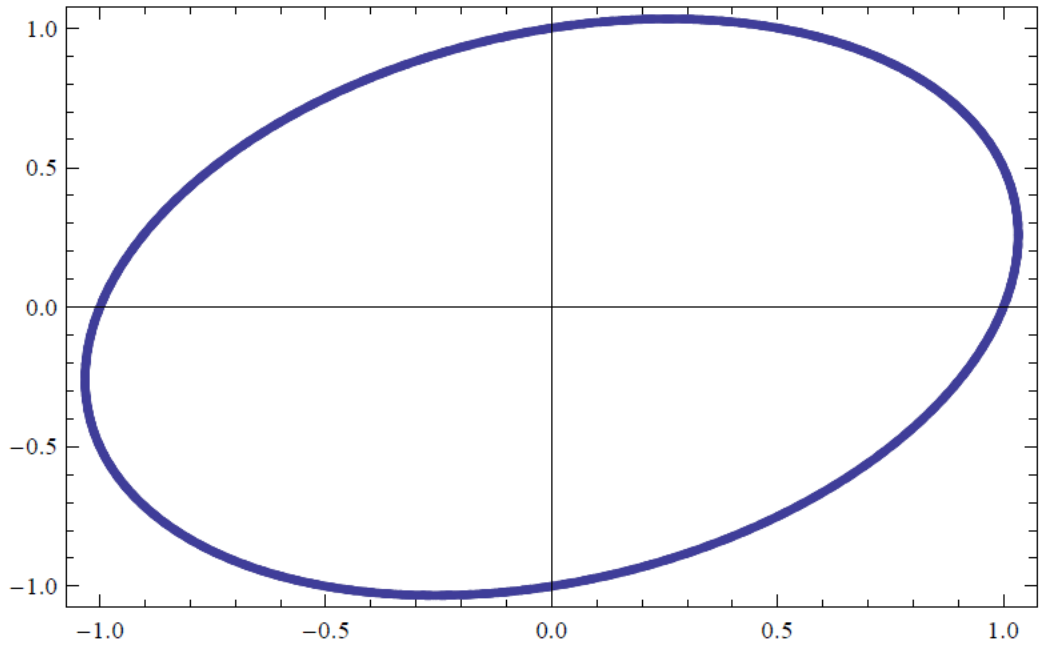
Werteverlaufsgraph von u(t), t=1(1)2000 , **x=0.5**, aufeinanderfolgende Punkte nicht verbunden



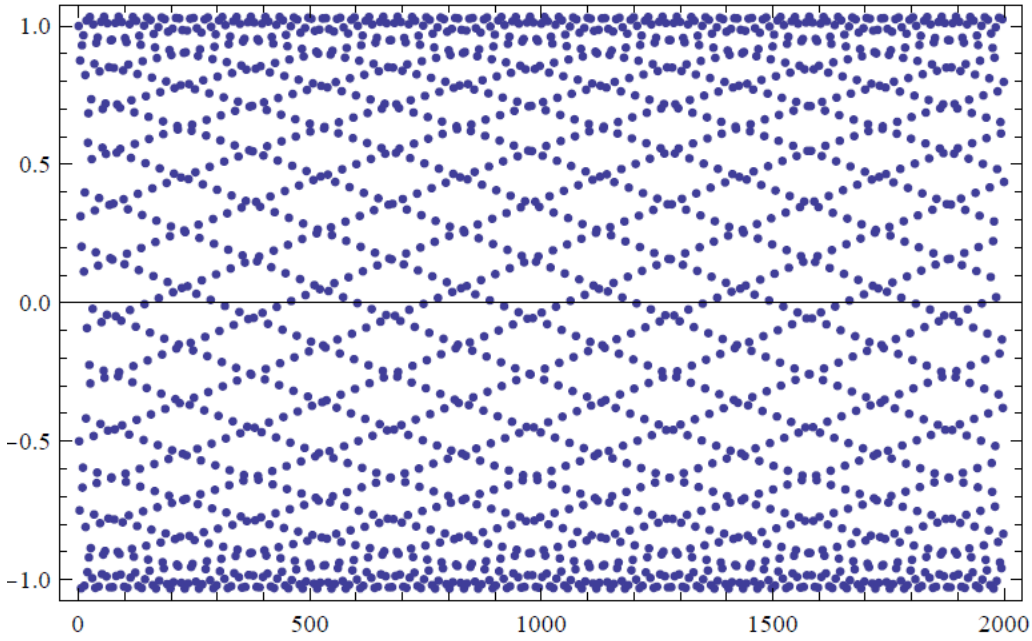
Pixelgraphik von u(t): Pixel(u(t)) = (u(t),u(t+1), aufeinanderfolgende Punkte nicht verbunden, für **x=0.5**



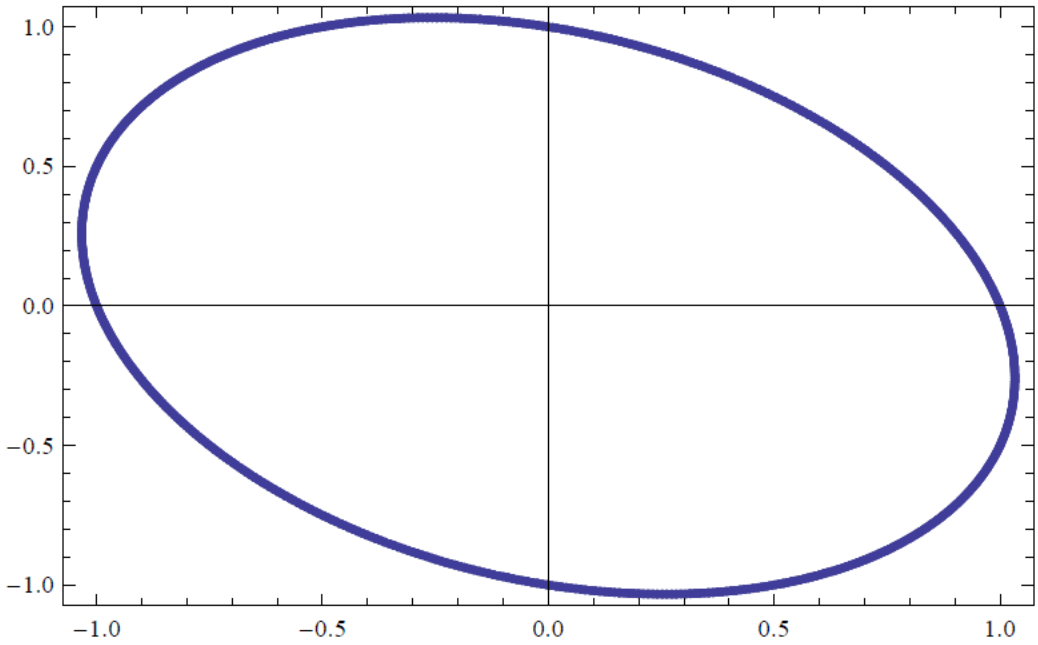
Werteverlaufsgraph von v(t), t=1(1)2000 , **x=0.5**, aufeinanderfolgende Punkte nicht verbunden



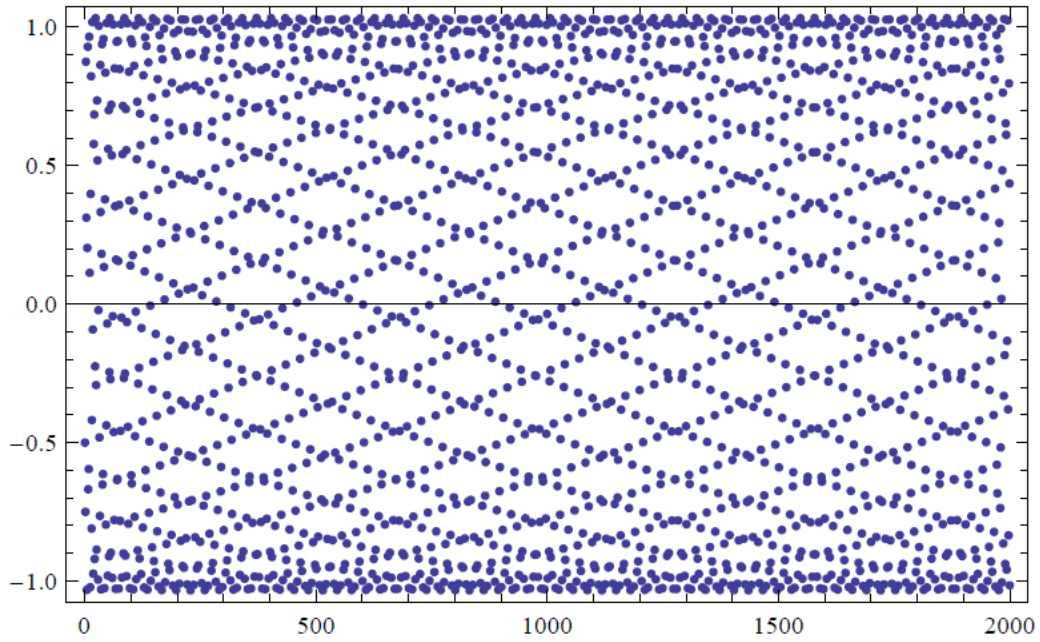
Pixelgraphik von v(t): Pixel(v(t)) = (v(t),v(t+1), aufeinanderfolgende Punkte nicht verbunden, für **x=0.5**



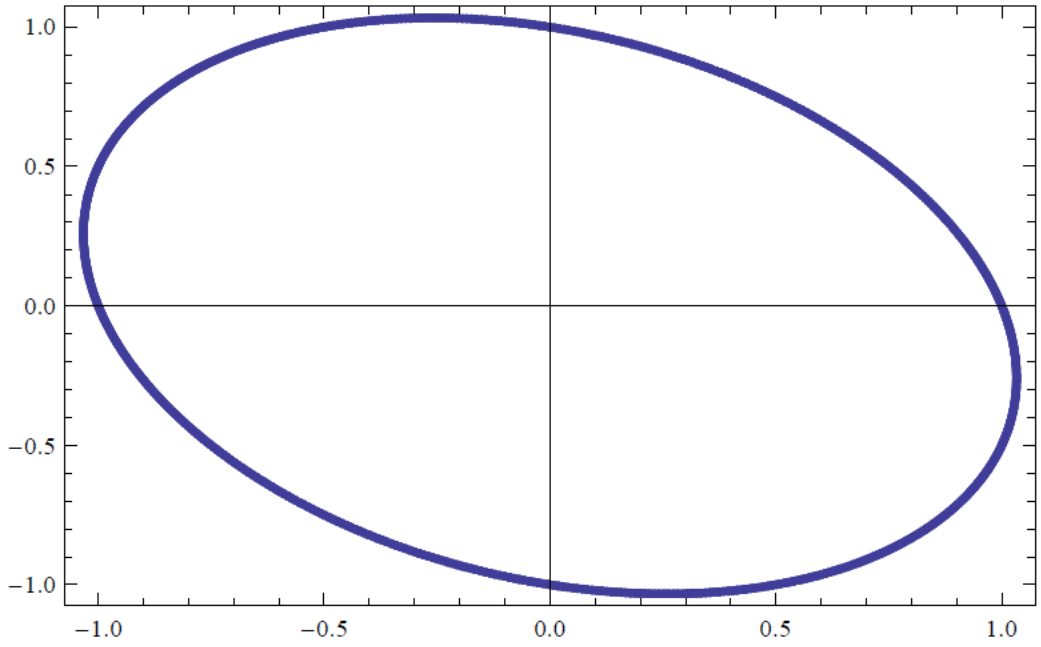
Werteverlaufsgraph von u(t), t=1(1)2000 , **x=-0.5**, aufeinanderfolgende Punkte nicht verbunden



Pixelgraphik von u(t): Pixel(u(t)) = (u(t),u(t+1), aufeinanderfolgende Punkte nicht verbunden, für **x=-0.5**



Werteverlaufsgraph von v(t), t=1(1)2000 , **x=-0.5**, aufeinanderfolgende Punkte nicht verbunden.



Pixelgraphik von v(t): Pixel(v(t)) = (v(t),v(t+1), aufeinanderfolgende Punkte nicht verbunden, für **x=-0.5**

** Fortsetzung in Unit 15, part 78.2.2 .
** Suchen und untersuchen Sie in analoger Weise und tiefergehend weitere „divergierende Löcher“ in numerischen und anderen Algorithmen.
xxxxxxxxxxxxxxxxxxxxxxxxxxxxxxxxxxxxxxxxxxxxxxxxxxxxxxxxxxxxxxxxxxxxxxxxxxxxxxxxxxxx

2D-Darstellung von scf(e-Derivaten) Sandkasten, Diskussionsmaterial

„Kettenstruktur“

scf(3-e^{-1}) =

[2;1,1,1,2,1,1, 4,1,1, 6,1,1 ,8,1,1,10,1,1, 12,1,1, 14,1,1,16,1,1,…] =

[2; 1, 1, 1,   **2**, 1,
            1,   **4**, 1,
            1,   **6**, 1,
            1,   **8**, 1,
            1, **10**, 1,
            1, **12**, 1,
            1, **14**, 1,
            1, **16**, 1,
                  ↓
                          ,…] =
2.6321205588285576784044762298385391325541888689682…

[2; 1, 1, 1, 2, 1, 1, 4, 1, 1, 6, 1, 1, 8, 1, 1, 10, 1, 1, 12, 1, 1, 14, 1, 1, 16, 1, 1, 18, 1, 1, 20, 1, 1, 22, 1, 1, 24, 1, 1, 26, 1, 1, 28, 1, 1, 30, 1, 1, 32, 1, 1] = 2.6321205588285576784044762298385391325541888689682

„Ringstruktur“

scf(?) =

[2;1,(1,1,2,1,1,1,1,4,1,1,1,1,6,1,1,1,1,8,1,1,1,1,10,1,1,1,1,12,1,1,1,1,14,1,1,1,1,16,1,1)per] =

[2; 1, 1, ↓
            ←←←←←
            ↓   ↑

1, **2**, 1, ↑ }
1, **4**, 1, ↑ }
1, **6**, 1, ↑ }
1, **8**, 1, ↑ } Rückkopplungstiefe T
1, **10**, 1, ↑ } hier T = 8
1, **12**, 1, ↑ }
1, **14**, 1, ↑ }
1, **16**, 1,→→] }

scf(T=1) = 2.63245553203367586639977870888105558835441735673 69…
scf(T=2) = 2.63211568778910786884461945879792936575984654919 17…
scf(T=3) = 2.63212058769726308531053749061950946105317048775 66…
scf(T=4) = 2.63212055873159496344995305644115491017970963956 38…
scf(T=5) = 2.63212055882876922114460259393987441966416536138 74…
scf(T=6) = 2.63212055882855735334516039206754637608298671778 44…
scf(T=7) = 2.63212055882855767877593653955376401279057408303 80…
scf(T=8) = 2.63212055882855767840414788545564422582843825175 84…
scf(T=9) = 2.63212055882855767840447646114984522392748187869 63…
scf(T=10) = 2.63212055882855767840447622970557365298839376981 12…
scf(T=11) = 2.63212055882855767840447622983860269912634371918 36…
scf(T=12) = 2.63212055882855767840447622983853910687953909396 83…
scf(T=13) = 2.63212055882855767840447622983853913256306689343 66…
scf(T=14) = 2.63212055882855767840447622983853913255418621088 04…
scf(T=15) = 2.63212055882855767840447622983853913255418886966 41…
scf(T=16) = 2.63212055882855767840447622983853913255418886896 82…

29.07.2019 EPScoll&alg DScalc